

극초정밀 다축 스테이지의 광소자 정렬에 관한 연구

정상화^{*}, 차경래[†], 김현욱[†], 최석봉[†], 김광호⁺⁺, 박준호[†]

A Study on the Optical Alignment of Multi-Axis Ultra Precision Stage

Sanghwa Jeong^{*}, Kyoungrae Cha[†], Hyunuk Kim[†], Sukbong Choi[†],
Gwangho Kim⁺⁺, Juneho Park[†]

Abstract

In recent years, as the demands of VBNS and VDSL increase, the development of kernel parts of optical communication such as PLC(Planar Light Circuit), Coupler, and WDM elements increases. The alignment and the attachment technology are very important in the fabrication of optical elements. In this paper, the optical alignment characteristics of multi-axis ultra precision stage were studied. The alignment algorithms were studied for applying to the ultra precision multi-axis stage. The alignment algorithm is comprised of field search and peak search algorithms. The contour of optical power signals can be obtained by field search and the precise coordinate can be found out by peak search. Two kinds of alignments, such as 1 ch. input vs. 1 ch. output optical stack, and 1 ch. input vs. 8 ch. output PLC stacks were performed for investigating the alignment characteristics.

Key Words : Optical fiber Alignment(광정렬), PZT Actuator(압전액츄에이터), Flexure(탄성한지), Capacitance gauge(정전용량형 센서), Field Search(영역탐색), Peak Search(극점탐색)

1. 서 론

광통신이 발전함에 따라 고속 광통신 시스템의 핵심 부품인 평면도파로형 분배기 및 결합기, WDM 소자, AWG 필터 등 각종 광통신소자 부품들의 개발이 활발히 진행 중이다^{1,2}.

광통신 시스템 및 소자부품 수요시장 확대 및 급격한 기술적 발전에 따라 관련 제조업체들은 제품의 성능향상 및 생산성 향상이라는 복합된 목표를 동시에 달성하여야만 하는 문제에 직면하였다. 광통신 소자 제조과정상 소자와 광섬유 사이의 광학적인 정렬과 접합 공정은 부품 성능 및 생산성 향상, 그리고 비용절감을 위한 가장 핵심적인

* 정상화, 조선대학교 기계공학과 (shjeong@chosun.ac.kr)

주소: 501-759 광주광역시 동구 서석동 375번지

+ 조선대 기계공학과

++ 조선대 광융용공학과

문제로 대두되고 있다^{3,4}. 특히 광소자들이 다채널화됨에 따라 기존의 장치보다 정밀한 정렬을 필요로하게 되었다. 이에 따라 광 관련 측정장비 또는 생산장비 제조업체에서는 품질 및 생산성 향상을 위해 정밀도와 분해능이 우수한 장치에 대해 연구하고 있다⁵.

본 연구에서는 평면도파로형 분배기, WDM소자, AWG 필터 및 평면도파로소자 등의 부품을 신속하고 정밀하게 정렬하기 위하여 광소자 정렬 알고리듬에 대해 연구하였다. 광소자 정렬 알고리듬은 영역탐색과 극점탐색 알고리듬으로 구성된다. 광정렬시 광신호의 2차원 분포도를 파악하기 위해 영역탐색 알고리듬을 적용하였고, 영역탐색에서 얻은 최대 광신호 검출위치를 기준으로 보다 높은 신호가 검출되는 정밀한 좌표를 찾기 위해 극점탐색 알고리듬을 적용하였다. 또한 두 가지 종류의 광소자를 이용한 정렬실험에 의해 광소자 정렬 알고리듬의 성능을 검증하였다.

2. 광소자 정렬 알고리듬

광소자의 정렬은 레이저 광원에서 빛을 광소자에 입력하여, 상대측에서 출력되는 빛을 광파워미터로 측정하여 최고의 광파워(dBm) 값을 찾을 때까지 위치를 변화시키면서 운동한다. 광소자 정렬순서는 광소자를 접합 거리에 위치시킨 후 2차원 정렬을 수행하여 2차원 좌표에 대응하는 광파워 값을 파악한다. 이 공정을 2차원 영역 탐색이라고 한다. 영역 탐색이 끝나면 가장 큰 광신호가 출력되는 지점으로 이동하여 다시 힐 클라임 방식으로 가장 큰 신호가 출력될 때까지 정렬한다. 이 공정을 극점 탐색이라고 한다. Fig. 1은 광정렬 알고리듬의 순서를 나타낸 것이다.

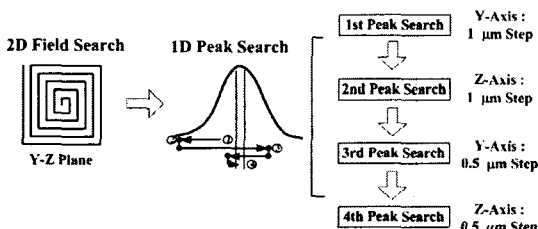


Fig. 1 Process of Optical Fiber Alignment Algorithm

2.1 2차원 영역 탐색 알고리듬

두 개의 광소자가 정렬간극인 약 $10 \mu\text{m}$ 에 위치하게 되면 Fig. 2와 같은 형식으로 바깥쪽에서 안쪽으로 $5 \mu\text{m}$ 간격으로 사각 나선궤적을 그리면서 이동하여 2차원 좌표를 획득한다.

이때 각각의 좌표에 대응하는 광파워 값을 측정하고 저장하여 광신호에 대한 2차원 프로파일을 얻고 가장 큰 광파워 값이 검출되는 영역을 파악할 수 있다.

본 연구에서는 1채널 - 1채널 정렬과 1채널 - 8채널 정렬을 하였으며 $40\mu\text{m} \times 40\mu\text{m}$ 의 영역을 탐색하였다.

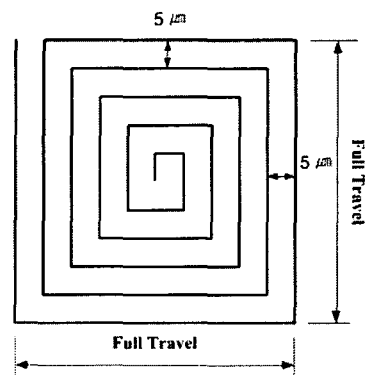


Fig. 2 2-Dimensional Field Search Algorithm

2.2 극점 탐색 알고리듬

2차원 영역 탐색을 마치고 나면 가장 큰 광신호가 검출되는 영역으로 광소자를 이동시키고 Fig. 3과 같은 방식으로 광소자를 전후진 운동시킨다. 그림에서 보는 것처럼 초기 위치 ①에서 어느 한 방향 ②로 이동하면서 광신호 프로파일을 측정하고 ①값과 ②값을 비교한 후 ②값이 작으면 다시 ③방향으로 이동하면서 프로파일을 측정한다. 프로파일 측정 도중 그림과 같이 변곡점이 발생하면 다시 후진하면서 변곡점 근처 ④까지 운동한다. 그리고 다시 전진하면서 광신호를 측정하여 최대 광신호가 출력되는 점 ⑤에 도달한다.

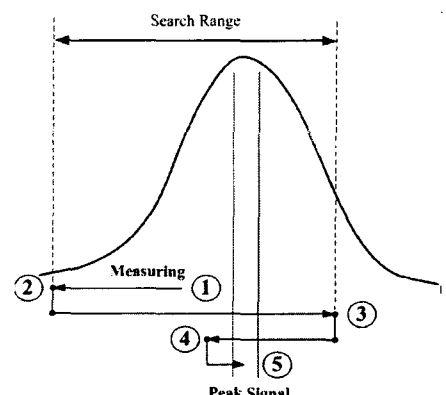


Fig. 3 Peak Search Process

III. 광소자 정렬 특성

초정밀 다축 위치 제어장치의 광소자 정렬 특성을 평가하기 위하여 두 가지의 광소자를 정렬하였다. 정렬실험에서는 1 채널 신호만을 전달하는 광스택과 다른 1 채널 광스택의 정렬, 1 채널의 신호를 8 채널로 분기하는 스플리터와 광스택의 정렬을 수행하였다. 정렬 알고리듬에 따라 메인 컨트롤러에서 스테이지로 신호를 입력하여 3차원 변위를 발생시키고 정전용량형 센서를 통해 3차원 위치 정보를 검출하고 그 때의 위치를 메인 컨트롤러에 저장한다. 각각의 위치에 대응하는 광신호는 광파워미터에 의해 측정된다. 검출된 광출력 신호는 dBm으로 표시되며 위치신호와 함께 메인 컨트롤러에 저장된다.

3.1 시스템 구성

광소자 정렬용 극초정밀 다축 위치제어장치는 Fig. 4에서 와 같이 극초정밀 스테이지부와 센서부 그리고 제어부로 구성된다. 극초정밀 스테이지는 압전액츄에이터로 구동되고 플렉셔로 가이드 되는 메커니즘이고 각각의 축이 직렬로 연결되어 3자유도(X-Y-Z) 병진운동을 수행한다. Table 1에 개발된 스테이지의 사양을 나타내었다. 스테이지는 독립적으로 초정밀 광정렬에 사용될 수 있으며 기존의 조동기구에 장착되어 미세 광정렬에 사용된다. 센서부는 스테이지에서 발생되는 변위를 측정하는 정전용량형 센서와 정렬이 되었을 때 광소자에서 검출되는 신호를 측정하는 광파워미터로 구성된다. 제어부는 압전액츄에이터 앰프에 제어신호를 입력하고 정전용량형 센서와 광파워미터의 광신호 출력을 나타내는 역할을 수행한다.

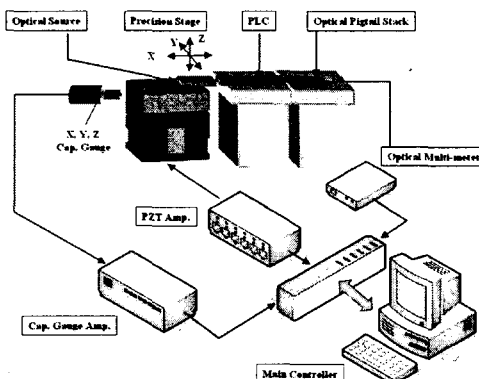


Fig. 4 Schematic Diagram of Ultra-Precision Optical Alignment System

Table 1 Specification of Precision Positioning Stage

	Specification
Degree of Freedom	X-Y-Z Translation
Travel	100×100×100 μm
Accuracy	X, Y, Z : 10 nm
Resolution	X, Y, Z : 5 nm

3.2 1 채널 광소자 정렬

광소자의 입력 1채널과 출력 1채널을 정렬하는 방식은 광소자 스택과 광도파로소자(Planar Light Circuit)의 입력측을 정렬할 때 적용된다. 정렬순서는 사각 나선형 운동형태로 2차원 영역 탐색을 하여 최대 광신호 영역을 찾은 후 다시 4단계의 극점 탐색을 수행하여 최대의 광신호 출력 위치를 찾았다. 영역 탐색에서는 5 μm 스텝의 2차원 광신호 프로파일을 측정하였고 극점 탐색에서는 0.5 μm 스텝의 1차원프로파일을 측정하였다.

3.2.1 영역 탐색

영역 탐색을 할 때 얻어지는 광신호 프로파일은 크게 세 가지 경우로 분류할 수 있다. Fig. 5와 같은 Case I 경우는 최대값을 갖는 광신호 검출 영역이 탐색 영역의 가장자리에 치우쳐 위치해 있는 경우이다. Case II는 Fig. 6에 나타내었는데 최대 신호영역이 탐색 영역에서 나타나지 않을 때이다. 마지막으로 Fig. 7에 나타나 있는 Case III의 경우는 최대 광신호 영역이 탐색한 2차원 프로파일의 중심부근에 위치한 경우이다. Case I과 Case II의 경우는 극점 탐색이 불가능한 경우이고 Case III의 경우에만 극점 탐색이 가능하다. Case III의 경우에서 영역 탐색을 하여 2차원좌표에 대한 광신호 프로파일을 구한 결과 최대 광파워값은 좌표 $(y, z) = (60\mu m, 50\mu m)$ 에서 -19.387 dBm 이 검출되었다. Fig. 7에서 보는 것처럼 이 좌표를 중심으로 높은 광신호들이 분포되어 있음을 알 수 있다. 이 좌표는 극점 탐색을 수행할 때 출발 좌표가 된다.

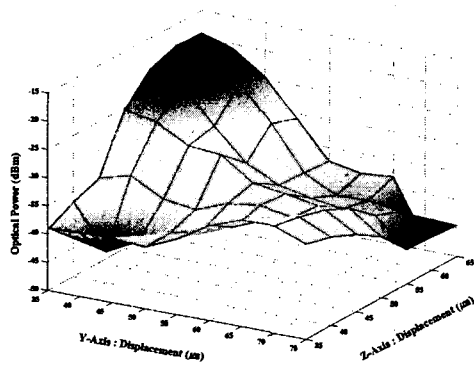


Fig. 5 Field Search Alignment for Optical Fiber Stack in Case I

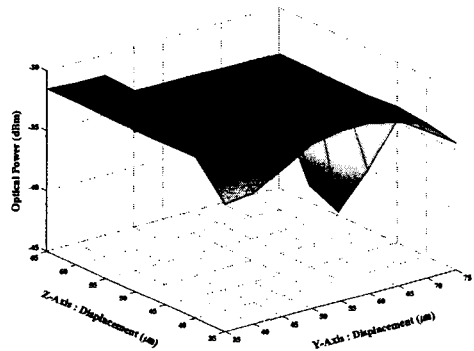


Fig. 6 Field Search Alignment for Optical Fiber Stack in Case II

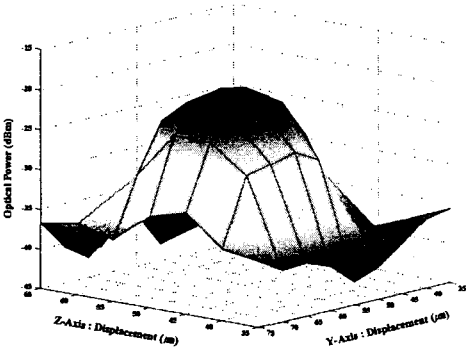
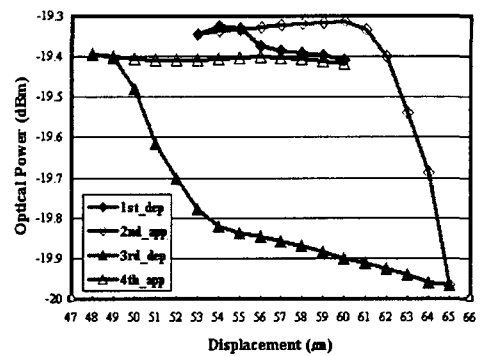


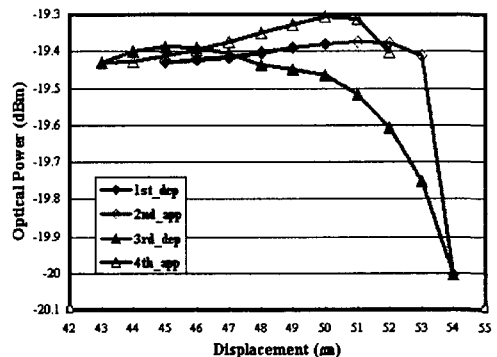
Fig. 7 Field Search Alignment for Optical Fiber Stack in Case III

3.2.2 극점 탐색

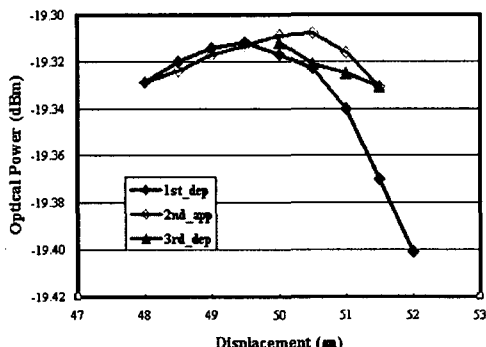
최대 광신호가 검출되는 보다 정밀한 좌표를 찾고자 영역 탐색을 한 결과 얻어진 좌표 $(y, z) = (60\mu\text{m}, 50\mu\text{m})$ 를 중심으로 극점 탐색을 하였다. 극점 탐색은 4 단계로 이루어지는데 $(60\mu\text{m}, 50\mu\text{m})$ 를 출발점으로 하여 Y축과 Z축 1차원 광신호 프로파일을 측정하였다. 4 단계의 극점 탐색을 마친 후에 얻은 최종 정렬위치 좌표는 $(y, z) = (53.5\mu\text{m}, 50.5\mu\text{m})$ 으로 판명되었고 그 때의 광파워 출력은 -19.305 dBm 이었다. 이는 영역 탐색에서 얻은 -19.387 dBm 보다 0.082 dBm 이 높은 값으로 보다 더 정밀한 정렬위치임을 확인하였다.



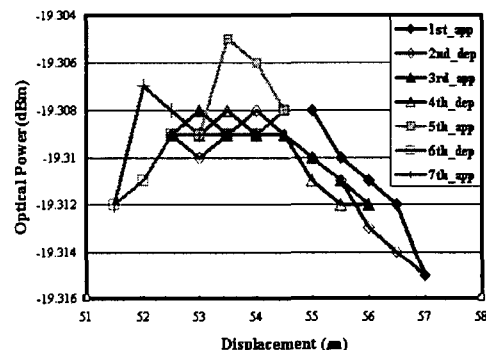
(a) 1st Peak Search with $1\mu\text{m}$ Step in Y-Axis



(b) 2nd Peak Search with $1\mu\text{m}$ Step in Z-Axis



(c) 3rd Peak Search with $0.5\mu\text{m}$ Step in Z-Axis



(d) 4th Peak Search with $0.5\mu\text{m}$ Step in Y-Axis

Fig. 8 Peak Search Alignment between 1Ch. Optical Fiber Stacks

3.3 8 채널 광소자 정렬

입력 1채널 광소자와 출력 8채널 광소자를 정렬하는 방식은 광소자 스택과 출력측 광도파로소자를 정렬할 때 적용된다. 광소자 정렬을 위해 2차원 영역 탐색을 수행하여 최대 광신호를 찾은 후 다시 4단계의 극점 탐색을 수행하여 보다 정밀한 최대 광신호 출력 위치를 구하였다.

3.3.1 영역 탐색

입력 1채널 광소자와 출력 8채널 광소자의 정렬에서 영역 탐색을 할 때 사각 나선 방식으로 $40\mu\text{m} \times 40\mu\text{m}$ 의 영역에서 $5\mu\text{m}$ 단위격자로 구성된 2차원 광신호 프로파일을 측정하였다. 측정범위를 스테이지 전체 구동 범위보다 작게 잡은 이유는 광스택의 접촉면이 일정 각도로 기울어져 있기 때문에 Z축 방향으로 운동할 때 소자간에 간섭이 발생하여 파손우려가 있기 때문이다.

영역 탐색을 하여 2차원좌표에 대한 광신호 프로파일을 구한 결과 최대 광파워값은 좌표 $(y, z) = (45\mu\text{m}, 50\mu\text{m})$ 에서 -5.77 dBm 이 검출되었다. Fig. 9에서 보는 것처럼 이 좌표를 중심으로 높은 광신호들이 분포되어 있음을 알 수 있다.

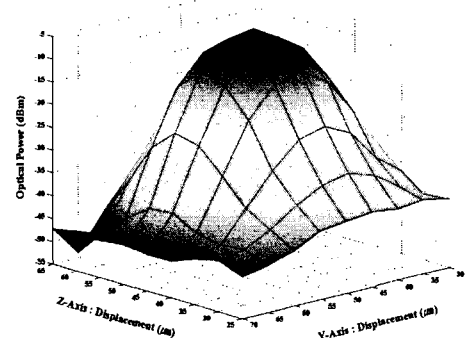
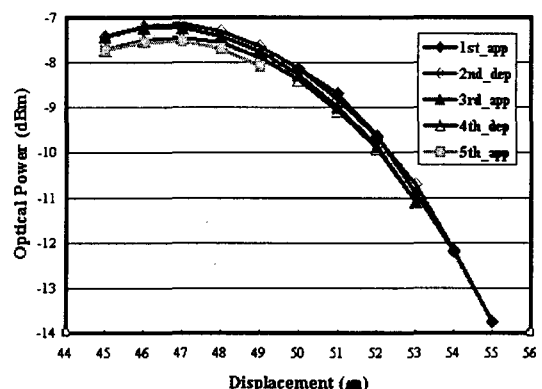


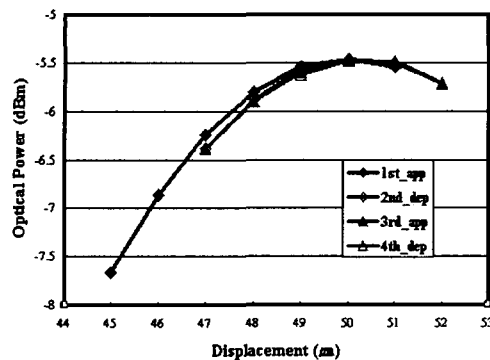
Fig. 9 Field Search Alignment between 1 Ch. and 8 Ch. Optical Fiber Stack

3.3.2 극점 탐색

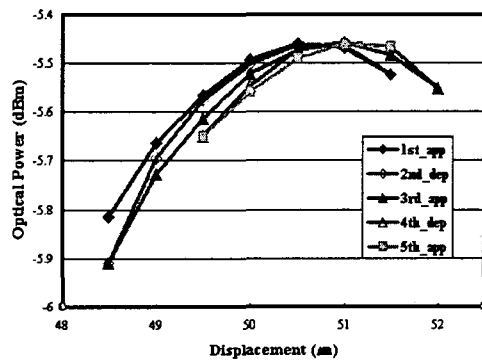
최대 광신호가 검출되는 보다 정밀한 좌표를 찾고자 영역 탐색을 한 결과 얻어진 좌표 $(y, z) = (45\mu\text{m}, 50\mu\text{m})$ 을 중심으로 극점을 탐색 하였다. 극점 탐색은 4 단계로 이루어지는데 좌표 $(45\mu\text{m}, 50\mu\text{m})$ 을 출발점으로 하여 Y축과 Z축 1차원 광신호 프로파일을 측정하였다. 4 단계의 극점 탐색을 마친 후에 얻은 최종 정렬위치 좌표는 $(y, z) = (47\mu\text{m}, 51\mu\text{m})$ 으로 판명되었고 그 때의 광파워 출력은 -5.469 dBm 이었다. 이는 영역 탐색에서 얻은 -5.77 dBm 보다 0.301 dBm 이 높은값으로 보다 더 정밀한 정렬위치임을 확인하였다.



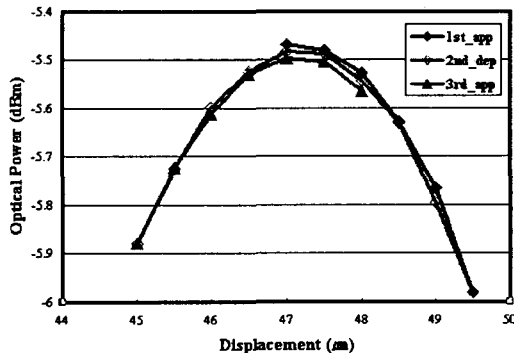
(a) 1st Peak Search with $1\mu\text{m}$ Step in Y Axis



(b) 2nd Peak Search with 1 μm Step in Z Axis



(c) 3rd Peak Search with 0.5 μm Step in Z Axis



(d) 4th Peak Search with 0.5 μm Step in Y Axis

Fig. 10 Peak Search Alignment between 1 Ch. and 8 Ch. Optical Stack

필터 등의 광부품을 신속하고 정밀하게 정렬하기 위하여 극초정밀 다축 위치제어 장치의 광정렬 특성에 대해 연구하였다. 광소자를 정렬하기 위하여 영역 탐색과 극점 탐색을 수행하였다. 영역 탐색은 사각나선방식을 이용하여 정렬범위의 평면좌표와 대응하는 광신호를 측정하였다. 극점 탐색에서는 영역 탐색에서 측정된 최대 광파워가 출력되는 위치에서 전후진방식 및 힐클라임 방식을 이용하여 영역 탐색에서 보다 정밀한 위치로 정렬하였다. 정렬실험에서는 1 채널 신호만을 전달하는 광스택과 다른 1 채널 광스택의 정렬, 1 채널의 신호를 8 채널로 분기하는 스플리터와 광스택의 정렬을 수행하였다. 실험 결과 영역 탐색에서는 5 μm 스텝의 2차원 광신호 프로파일을 얻을 수 있고 극점 탐색에서는 0.5 μm 스텝의 1차원 프로파일을 측정하여 최대 광파워 출력 위치를 찾을 수 있었다.

후 기

본 연구는 광주지역 첨단부품·소재산업육성사업의 연구비 지원에 의해 수행되었음

참 고 문 헌

1. 심보성, 김재국, 장원석, 2002, "UV 레이저를 이용한 직접 묘화기술 개발," 제 1회 고기능 초미세 마이크로부품 기술개발 Workshop, pp. 1-5,
2. Y. C. Chung, J. Jeong, and L. S. Chung, 1994, "Aging-induced wavelength shifts in 1.5-m DFB lasers," *IEEE Photon. Technol. Lett.*, vol. 6, pp.792-795.
3. R. S. Vodhanel, M. Krain, R. E. Wagner, and W. B. Sessa, 1994, "Long-term wavelength drift of the order of 0.01 nm/yr for 15 free-running DFB laser modules," OFC94.
4. 양순호, 2002, "다채널 광통신소자 정렬 시스템 개발," 중기거점 중간보고서, 산업자원부.
5. 정상화, 2002, "초정밀 다축 위치제어장치 개발 및 보정에 관한 연구," 한국정밀공학회 2002년 추계학술대회논문집, pp. 455-458.

4. 결 론

본 논문에서는 평면도파로형 분배기, WDM소자, AWG